

# ALGO2 – Largeur arborescente

François Schwarzenruber

April 26, 2022

## 1 Fixed-parameter tractable

**Définition 1 (paramétrisation)** Une *paramétrisation* est une fonction<sup>1</sup>  $\kappa$  qui à toute instance associe un entier.

**Définition 2 (problème paramétrée)** Un *problème paramétrée* a la forme suivante :

- entrée : une instance  $x$  ;
- paramétrisation :  $\kappa$  ;
- sortie : oui si  $x$  est une instance positive, non sinon.

**Exemple 1** pSAT

- entrée : une formule propositionnelle  $\varphi$
- paramétrisation : nombre de variables dans  $\varphi$
- sortie : oui si  $\varphi$  est satisfaisable, non sinon.

Voici un algorithme : parcourir toutes les valuations et tester si  $\varphi$  est vraie. Sa complexité est  $2^k \text{poly}(n)$  où  $n$  est la taille de  $\varphi$  et  $k$  est le nombre de variables dans  $\varphi$ .

**Définition 3 (fpt-algorithme)** Un algorithme est un fpt-algorithme par rapport à  $\kappa$  s'il existe une fonction calculable  $f$  et un polynôme  $\text{poly}$  tel que pour toute entrée  $x$ ,  $A(x)$  s'exécute en temps au plus  $f(\kappa(x)) \times \text{poly}(|x|)$ .

**Définition 4 (fixed-parameter tractable)** Un problème de paramétrisation  $\kappa$  s'il est décidé par un fpt-algorithme par rapport à  $\kappa$ .

## 2 Motivation

### 2.1 Sur les arbres = facile

Beaucoup de problèmes sont faciles sur des arbres avec programmation dynamique

**Définition 5** Ensemble indépendant maximum

entrée : graphe  $G = (V, E)$  non orienté

sortie : un ensemble  $S \subseteq V$  de sommets deux-à-deux non adjacents.

**Proposition 6** Ensemble indépendant maximum restreint aux arbres est dans P.

DÉMONSTRATION. Programmation dynamique

$I(u)$  := taille maximale d'un ensemble indépendant dans le sous-arbre enraciné en  $u$ .

Le but est de calculer  $I(r)$

Soit un ensemble indépendant contient  $u$  ou alors ne contient pas  $u$ . Ainsi on a :

$$I(u) = \max\left(1 + \sum_{w \text{ petit-enfant de } u} I(w), \sum_{w \text{ enfant de } u} I(w)\right)$$

<sup>1</sup>Dans [FG06] p. 4, on la suppose calculable en temps polynomial.

```

fonction calculerI(u)
  si u est une feuille alors
    | u.I := 1
  sinon
    pour w enfant de u faire
      | calculerI(w)
    u.I = max(1 +  $\sum_w$  petit-enfant de u w.I,  $\sum_w$  enfant de u w.I)

```

■

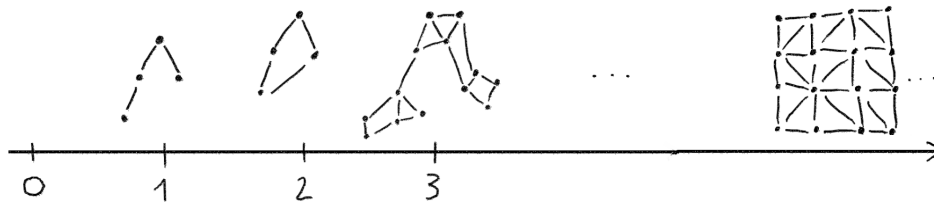
## 2.2 Paramétrisation qui mesure l'arbitude

En pratique, beaucoup de graphes ressemblent à des arbres.

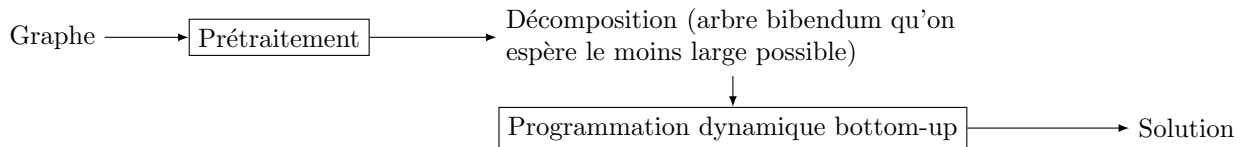
**Exemple 2** • Graphes des programmes ont une tree-width  $\leq 6$  généralement

- Graphe de contraintes (CSP)
- series-parallel graph (ils sont de tree-width 2!)
- Heuristique pour TSP

Quid d'une paramétrisation qui mesure de combien un graphe ressemble à un arbre ?



## 2.3 Principe pour un algorithme efficace



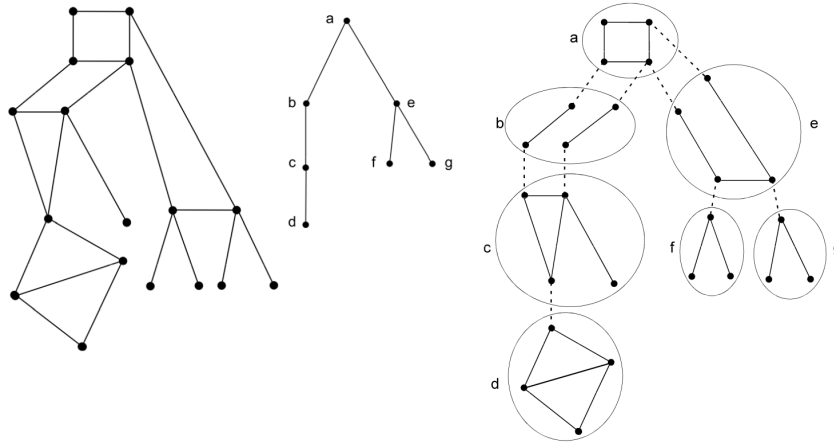
## 3 Définitions

Mettre un graphe dans un arbre bibendum.

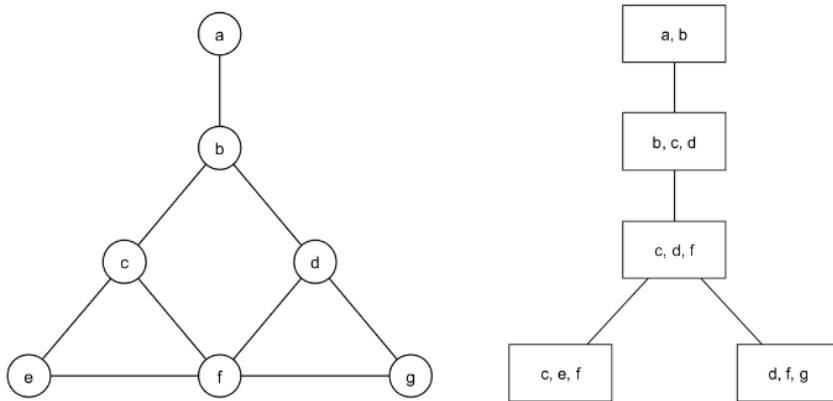
**Définition 7 (décomposition d'un graphe)** Soit  $G = (V, E)$  un graphe non orienté. Une *décomposition*  $A$  de  $G$  est un arbre où :

1. les nœuds de  $A$  sont (étiquetés par) des *sacs*, i.e. des sous-ensembles de sommets de  $G$  ;
2. pour tout sommet  $x$  dans  $G$ , l'ensemble des nœuds dont les sacs contiennent  $x$  forment un sous-arbre connexe de  $A$  ;
3. toute arête  $\{x, y\}$  de  $G$  est incluse dans au moins un sac.

**Exemple 8**



**Exemple 3**



**Notation 9 (sac en un nœud)** Étant donné un nœud  $t$  d'une décomposition, on note  $\partial_t \subseteq V$  le sac du nœud  $t$ .

**Notation 10 (ensemble de sommets d'un sous-arbre)** Étant donné un nœud  $t$  d'une décomposition, l'ensemble de sommets du sous-arbre enraciné en  $t$  est  $G_t = \cup_u$  descendant de  $t \partial_u$ .

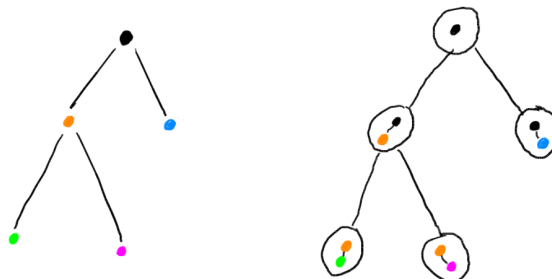
**Définition 11 (largeur)** La largeur d'une décomposition est le cardinal du plus gros sac moins 1.

**Définition 12 (largeur arborescente – tree-width)** La tree-width de  $G$ , notée  $tw(G)$ , est la largeur d'une décomposition la moins large.

## 4 Classes de graphes

**Proposition 13** Soit  $G$  un graphe connexe.  $G$  est un arbre ssi  $tw(G) = 1$ .

DÉMONSTRATION. Si  $G$  est un arbre, alors on peut considérer la décomposition suivante qui est de largeur 1.



Réciproquement, considérons une décomposition de  $G$  de largeur 1. TODO: en exo

■

**Proposition 14** La largeur arborescente d'un cycle est 2.

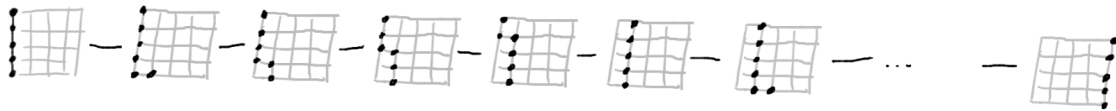
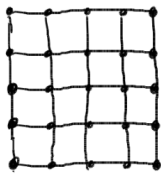
DÉMONSTRATION.



■

**Proposition 15** La largeur arborescente d'une grille  $n \times n$  est  $n$ .

DÉMONSTRATION.



■

**Proposition 16** La largeur arborescente du graphe complet  $K_n$  est  $n - 1$ .

**Proposition 17** Si  $tw(G) = k$ , alors tout sous-graphe  $H$  de  $G$  vérifie  $tw(H) \leq k$ .

## 5 Taille d'une décomposition

**Définition 18** Une décomposition d'un graphe  $G$  est petite si pour tout nœud  $x, y$ , si  $x \neq y$  alors  $\partial_x \not\subseteq \partial_y$ .

**Proposition 19** Une petite décomposition d'un graphe  $G = (V, E)$  possède au plus  $|V|$  nœuds.

DÉMONSTRATION. Par induction sur  $|V|$  (sachant qu'une feuille contient au moins un sommet qui n'est dans aucun autre sac). ■

**Proposition 20** Tout graphe  $G$  admet une petite décomposition de largeur  $tw(G)$ . De plus, toute décomposition peut être transformée en temps linéaire en petite décomposition de même largeur.

DÉMONSTRATION. Contracter les arcs  $(x, y)$  de la arbre-décomposition pour lesquelles  $\partial_x \subseteq \partial_y$  ou  $\partial_y \subseteq \partial_x$ . Garder le sac le plus grand de  $\partial_x$  et  $\partial_y$ . ■

**Proposition 21** Dans tout graphe  $G$ , il existe un sommet de degré  $\leq tw(G)$ .

DÉMONSTRATION. Soit  $G = (V, E)$  un graphe et considérons une décomposition petite de largeur  $tw(G)$ . Si  $G$  a moins de  $tw(G) + 1$  sommets, alors tous les sommets de degré  $\leq tw(G)$  et donc c'est gagné. Sinon,  $G$  a plus de  $tw(G) + 2$  sommets. Mais alors la décomposition possède au moins deux nœuds. Soit  $f$  une feuille et  $p$  son parent. Il y a un sommet  $s \in \partial_f \setminus \partial_p$ . Alors  $\partial_f$  est le sac qui contient  $s$ . Ainsi, toutes les arêtes partant de  $s$  sont présentes dans ce sac. Or  $|\partial_f \setminus \{s\}| \leq tw(G)$ . Et donc  $s$  est de degré au plus  $tw(G)$ . ■

## 6 Algorithmes pour décomposition

**Définition 22 (problème de décision du calcul de la largeur arborescente) tree-width**

entrée : un graphe  $G$ , un entier  $k$   
 sortie : oui, si la tree-width de  $G$  est  $k$ , non sinon.

**Théorème 23 (admis)** Le calcul de la tree-width est NP-complet.

**Théorème 24 (de Bodlaender, admis)** Il existe un algorithme qui prend en entrée un graphe  $G$  qui retourne une décomposition optimale de largeur  $k = tw(G)$  en temps  $O(|G| \times 2^{poly(k)})$ .

**Théorème 25 (démontré en annexe)** Il existe un algorithme prenant en entrée un graphe  $G$  qui retourne une décomposition de largeur  $\leq 4tw(G) + 1$  en temps  $O(|G| \times 2^{O(tw(G))})$ .

## 7 Programmation dynamique

**Proposition 26** Le problème Ensemble indépendant admet un algorithme de complexité  $O(|G| \times f(tw(G)))$ .

DÉMONSTRATION. D'abord on calcule une petite décomposition arborescente de  $G$ . Ensuite, on applique la programmation dynamique bottom-up. Étant donné un nœud  $x$  dans l'arbre, et un sous-ensemble  $A \subseteq \partial_x$ ,  $A$  indépendant sur  $\partial_x$ , on calcule  $MIS(x, A)$  la taille d'un plus grand ensemble indépendant  $I$  dans  $G_x$  avec  $I \cap \partial_x = A$ .

On a

$$MIS(x, A) = |A| + \sum_{y \text{ enfant de } x} \max_{A' \subseteq \partial_y | A' \text{ indépendant sur } \partial_y \text{ et } A' \cap \partial_x = A \cap \partial_y} MIS(y, A') - |A \cap \partial_y|.$$

On calcule récursivement  $MIS(x, \bullet)$ .

```

fonction calculerMIS(x)
    pour y enfant de u faire
        | calculerMIS(y)
    pour A ⊆ ∂x faire
        | x.MIS[A] := ...
    
```

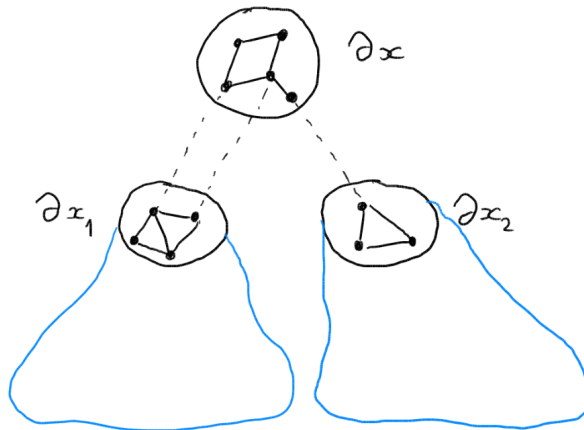
La complexité est de  $T(x) = 4^k k^2 |\text{enfants de } x| + \sum_{y \text{ enfant de } x} T(y)$ . Le  $4^k$  vient de  $2^k 2^k$  : le premier  $2^k$  de la boucle pour tout  $A$ , et le deuxième  $2^k$  de la boucle pour  $A'$ . Le  $k^2$  vient du fait qu'il faut parcourir les  $A$  indépendant sur  $\partial_x$ . Pour  $A'$ , pas besoin de vérifier car c'est un dictionnaire, on parcourt les clefs. Ainsi on a  $T(\text{racine}) = 4^k k^2 |V|$ .

**Proposition 27** Le problème de 3-coloration admet un algorithme de complexité  $O(|G| \times f(tw(G)))$ .

DÉMONSTRATION. D'abord on calcule une petite décomposition arborescente de  $G$ . Ensuite, on applique la programmation dynamique bottom-up. Étant donné un nœud  $x$  dans l'arbre, on calcule  $extCol(x)$  l'ensemble des colorations licites des sommets dans  $\partial_x$  qui peuvent être étendue en une coloration du sous-graphe  $G_x$ .

1. La relation de récurrence est, en notant  $x_1, \dots, x_k$  les fils de  $x$  :

$$extCol(x) = \{f \text{ coloration de } \partial_x \mid f \text{ coïncide avec une coloration de } extCol(x_i) \text{ pour tout } i\}$$



2. Le graphe  $G$  est coloriable ssi  $extCol(racine)$  est non vide.

**Exercice 28** Evaluer la complexité de l'algorithme de 3-coloration.

**Exercice 29** Écrire le pseudo-code de l'algorithme qui prend en entrée une décomposition d'un graphe  $G$  et décide si le graphe est 3-coloriable.

**Exercice 30** Implémenter l'algorithme de 3-coloration ci-dessus.

■

## 8 Théorème de Courcelle

Caractérisation logique d'une classe où l'approche programmation dynamique sur une décomposition fonctionne

**Définition 31 (syntaxe de MSOL)** La syntaxe de la *logique monadique du second ordre* sur les graphes est définie par la grammaire suivante :

$$\varphi ::= u=v \mid u \in X \mid uRv \mid \neg\varphi \mid \varphi \vee \varphi \mid \forall x\varphi \mid \forall X\varphi$$

**Exemple 4 (ensemble indépendant en MSOL)**  $ind(X) := \forall u, \forall v, (u \in X \wedge v \in X) \rightarrow \neg uRv$

**Exemple 5 (3-coloration en MSOL)**  $\exists A \exists B \exists C \forall u, u$  dans exactement un  $A, B$ , ou  $C \wedge ind(A) \wedge ind(B) \wedge ind(C)$ .

**Exemple 6 (cycle hamiltonien en MSOL)**  $\exists C \subseteq Espanning(C) \wedge \forall u, deg2(u, C)$ .

**Définition 32 Problème de Courcelle**

entrée : une formule  $\varphi$  de MSOL, une décomposition de  $G$  de largeur  $k$

sortie : oui, si  $G \models \varphi$ , non sinon.

**Définition 33 Problème d'optimisation de Courcelle**

entrée : une formule  $\varphi(X)$  de MSOL, une décomposition de  $G$  de largeur  $k$

sortie :  $A$  de cardinal max/min tel que  $G, [X := A] \models \varphi$ , non sinon.

**Théorème 34 (de Courcelle, admis)** Le problème de Courcelle admet un algorithme en temps  $O(|G| \times f(|\varphi|, k))$ . Le problème d'optimisation de Courcelle admet un algorithme en temps  $O(|G| \times f(|\varphi|, k))$ .

DÉMONSTRATION. (idée) Il y a un nombre fini de sous-graphes de taille  $k$ . On fait programmation dynamique bottom-up sur l'arbre. ■

## Notes bibliographiques

Ce cours est adapté du chapitre 11 de [FG06]. Le théorème de Courcelle reste vraie pour MSOL sur les *hypergraphes*, où les variables du premier (deuxième) ordre peuvent dénoter aussi des (ensembles d') arêtes. L'application de programmation dynamique pour ensemble indépendant dans les arbres est présenté dans [DPV08].

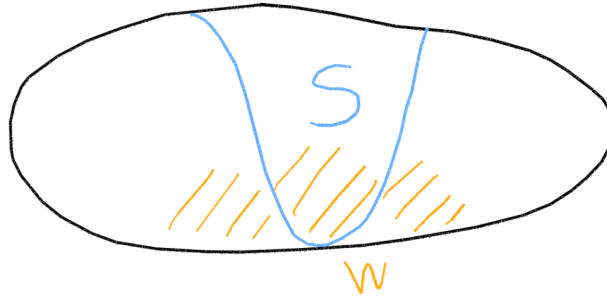
## References

- [DPV08] Sanjoy Dasgupta, Christos H. Papadimitriou, and Umesh V. Vazirani. *Algorithms*. McGraw-Hill, 2008.
- [FG06] Jörg Flum and Martin Grohe. *Parameterized Complexity Theory*. Texts in Theoretical Computer Science. An EATCS Series. Springer, 2006.

# A Algorithme d'approximation pour décomposition

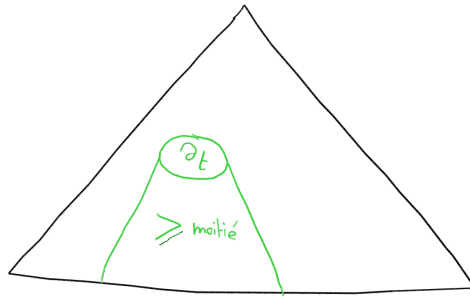
## A.1 Séparation balancée

**Définition 35 ( $W$ -séparateur balancé)** Soit  $G = (V, E)$  un graphe et  $W \subseteq V$ . Un  $W$ -séparateur balancé est un sous-ensemble  $S \subseteq V$  tel que toute composante connexe de  $G \setminus S$  contienne moins de la moitié des éléments de  $W$ .



**Proposition 36** Soit  $G = (V, E)$  un graphe de largeur arborescente au plus  $k$  et  $W \subseteq V$ . Alors il existe un  $W$ -séparateur de  $G$  de cardinal au plus  $k + 1$ .

**DÉMONSTRATION.** Considérons une décomposition  $T$ . On considère un nœud  $t$  tel que  $B(T_t)$ , i.e. l'union des sacs des nœuds du sous-arbre issu en  $t$ , contienne plus de la moitié des éléments de  $W$ . De plus, on suppose  $T_t$  de hauteur minimale (i.e. au plus profond dans l'arbre  $T$ ).



On pose  $S = \partial_t$  (i.e. le séparateur est le sac du nœud  $t$ ).

Maintenant on pose :

$C_0 = B(T \setminus T_t) \setminus S$  (les sommets sont dans des sacs pas sous  $t$ , et pas dans  $S$ ) ;

$C_i = B(T_{u_i}) \setminus S$  où  $u_i$  est le  $i$ -ème fils de  $t$  (les sommets qui sont sous  $u_i$  mais pas dans  $S$ ).



**Fait 37**  $C_0$  contient strictement moins de la moitié de  $W$ .

**DÉMONSTRATION.** On a  $|B(T_t) \cap W| \geq |W|/2$ . On a  $B(T \setminus T_t) \cap B(T_t) \subseteq \partial_t$ . Ainsi  $C_0$  et  $B(T_t)$  sont disjoints. ■

**Fait 38**  $C_i$  contient strictement moins de la moitié de  $W$ .

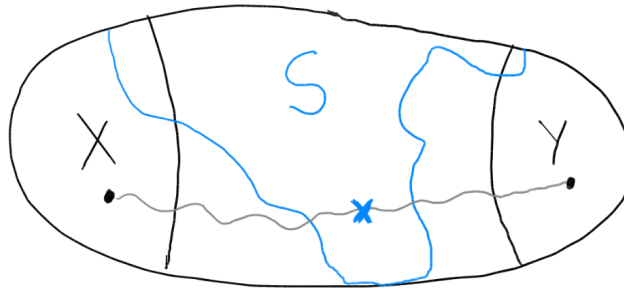
**DÉMONSTRATION.** Car  $T_t$  est de hauteur minimale. ■

Chaque composante de  $G \setminus S$  est dans un des  $C_i$  (exercice).

Ainsi chaque composante de  $G \setminus S$  contient moins de la moitié des éléments de  $W$ . ■

## A.2 Séparation

**Définition 39 (séparateur)** Soit  $G = (V, E)$  un graphe. Soit  $S, X, Y \subseteq V$ . On dit que  $S$  sépare  $X$  de  $Y$  si tout chemin d'un sommet de  $X$  à un sommet de  $Y$  contient un sommet de  $S$ .



**Exemple 40** TODO: à faire

**Remarque 41** Tout sur-ensemble de  $X$  sépare  $X$  de  $Y$ . Tout sur-ensemble de  $Y$  sépare  $X$  de  $Y$ .

**Proposition 42** Le problème suivant admet un algorithme en temps  $O(\text{poly}(k, G))$  :

### Séparateur petit

entrée : un graphe  $G = (V, E)$ , deux ensembles  $X, Y \subseteq V$ , un entier  $k$

sortie : un ensemble  $S \subseteq V$  de cardinal  $\leq k$  qui sépare  $X$  de  $Y$ , s'il en existe un, 'non' sinon.

DÉMONSTRATION. Par réduction aux flots !  
Cela provient du théorème Menger :

$$\max_{P \text{ ensemble de chemins disjoints de } X \text{ à } Y} |P| = \min_{S \text{ qui sépare } X \text{ et } Y} |S|.$$

Par chemins disjoints, on entend des chemins tels qu'il n'y ait pas de sommets intermédiaires communs. Pour  $P$  un ensemble de chemins disjoints deux à deux,  $|P|$  est le nombre de chemins.

$\leq$  Soit  $S$  minimal qui sépare  $X$  de  $Y$ . Soit  $P$ . Montrons que  $|P| \leq |S|$ . Chaque chemin de  $P$  vient intersecter un sommet différent de  $S$ . Donc  $|P| \leq |S|$ .

$\geq$  Montrons  $|S| \leq |P|$  si  $P$  et  $S$  sont optimaux. Attention, ce n'est pas toujours le cas : on peut mal choisir les chemins (typiquement un exemple avec un chemin qui fait un zizag dans  $S$  énorme...). Pour montrer cela, on va montrer qu'il s'agit du théorème max flot/min cut dans un certain réseau de flots. Le réseau de flots est constitué d'une source, d'une copie de  $X$ , de deux copies de  $G$ ,  $G$  et  $G^+$ , et d'une copie de  $Y$ , et d'un puits. On connecte la source avec capacité infinie à tous les sommets de  $X$ , et tous les sommets de  $Y$  au puits avec capacité infinie. Puis on a des arcs de capacité 1. Les sommets de  $X$  sont connectés à leur successeur dans  $G$ . Les sommets précédesseur de  $Y$  dans  $G^+$  sont connectés à leur successeur dans  $Y$ . Un sommet  $u$  est relié juste à  $u^+$ . On relie  $u^+$  à  $v$  si  $(u, v)$  est une arête.

Un flot  $f$  dans ce réseau correspond à un ensemble de chemins disjoints. A quoi correspond une coupe minimale ?

Si on a une coupe minimale  $C = (S, T)$ , elle est de capacité finie, et on peut montrer que les seuls arcs qui vont de la  $s$ -partie à la  $t$ -partie sont des arcs du type  $(u, u^+)$ . Par l'absurde, supposons que l'on ait  $u^+ \rightarrow v$  qui soit séparé, i.e.  $u^+ \in S$  et  $v \in T$ . Dans le graphe résiduel du flot correspondant, ça veut dire que  $u^+$  est accessible mais pas  $v$ . Or ce n'est pas possible car il y a de l'eau qui va de  $u$  à  $u^+$ . Mais alors  $u^+$  n'est pas accessible dans le graphe résiduel (car on peut annuler l'eau de  $u$  à  $u^+$  ce qui fait un arc  $u^+u$  dans l'autre sens).

On pose  $S$  l'ensemble des sommets  $u$  tel que  $(u, u^+)$  soit un arc séparé par la coupe minimale. Supprimer ces sommets sépare  $X$  et  $Y$ .

Si  $P$  et  $S$  sont optimum, On a donc  $|P| \geq |f| = |C| \geq |S|$ .

Voici donc l'algorithme :

1. construire le réseau de flots
2. appeler l'algorithme Ford-Fulkerson
3. soit  $S$ , l'ensemble des sommets  $u$  avec  $(u, u^+)$  qui est séparé par la coupe minimal.



4. si  $|S| \leq k$ , alors retourner  $S$  sinon retourner "non".

■

**Corollaire 43** Le problème suivant admet un algorithme en temps  $O(\text{poly}(k, G))$  :

**Séparateur petit'**

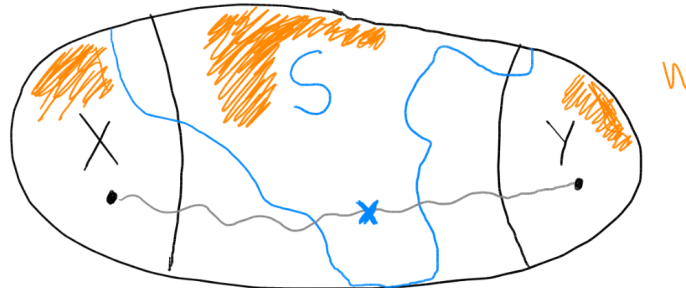
entrée : un graphe  $G = (V, E)$ , deux ensembles  $X, Y, Z \subseteq V$ , un entier  $k$   
sortie : un ensemble  $S \subseteq V \setminus (X \cup Y)$  de cardinal  $\leq k$  et  $Z \subseteq S$ , qui sépare  $X$  de  $Y$ , s'il en existe un, 'non' sinon.

DÉMONSTRATION. S'il y a un arc de  $X$  à  $Y$ , on répond non. Soit  $S(X)$  les successeurs de  $X$  dans  $V \setminus X$  (pareil pour  $S(Y)$ ). On considère un nouveau graphe  $G'$  qui est le graphe  $G$  induit à  $V' := V \setminus (X \cup Y)$ . On utilise l'algorithme précédent sur l'instance  $G', S(X) \cup Z, S(Y) \cup Z, k$ . ■

**A.3 Séparation faiblement balancé**

**Définition 44 ( $W$ -séparateur faiblement balancé)** Soit  $G = (V, E)$  un graphe et  $W \subseteq V$ . Un  $W$ -séparateur faiblement balancé est un  $S \subseteq V$  tel qu'il existe  $X, Y \subseteq W$  avec :

1.  $W = X \sqcup (S \cap W) \sqcup Y$  ;
2.  $S$  sépare  $X$  de  $Y$
3.  $0 < |X| \leq 2|W|/3, 0 < |Y| \leq 2|W|/3$ .



**Exemple 45** TODO: un jour

**Proposition 46** Il y a un algorithme en temps  $O(3^{3k} \text{poly}(k, G))$  pour le problème suivant :

**Séparateur faiblement balancé petit**

entrée : un graphe  $G = (V, E)$ , un ensemble  $W \subseteq V$  avec  $|W| = 3k + 1$ , un entier  $k$   
sortie : un ensemble  $S \subseteq W$   $W$ -séparateur faiblement balancé de cardinal  $\leq k + 1$ , s'il existe un, 'non' sinon.

DÉMONSTRATION. On utilise l'algo qui calcule un séparateur comme sous-routine.

```

pour  $X \subseteq W$  de cardinal au plus  $2k$  faire
  pour  $Y \subseteq W$  de cardinal au plus  $2k$ ,  $Y$  disjoint de  $X$  faire
     $S :=$  algo pour séparateur petit' avec  $X, Y$  et  $Z := W \setminus (X \cup Y)$  et
     $k + 1$ .
    si  $S$  n'est pas "non" alors renvoyer  $S$ 
renvoyer "non"
    
```

$3^{3k+1}$  est une borne supérieure du nombre de  $(X, Y)$ . En effet,  $X$  et  $Y$  sont disjoints et donc pour chaque élément de  $W$ , on indique 0, 1, ou 2 pour dire qu'il est dans  $X$ , dans  $Y$  ou dans aucun des deux. D'où la complexité.

■

**Proposition 47** Soit  $G = (V, E)$  avec  $tw(G) = k$ . Soit  $W \subseteq V$  avec  $|W| \leq 3k + 1$ . Alors il y a un  $W$ -séparateur faiblement balancé de cardinal au plus  $k + 1$ .

DÉMONSTRATION. D'après la proposition 33, il y a un  $W$ -séparateur  $S$  balancé de cardinal  $\leq k + 1$ . Soit  $C_1, \dots, C_m$  les composantes connexes de  $G \setminus S$ , qui ont une intersection non vide avec  $W$ . Posons  $W_i = C_i \cap W$ . On a  $W \setminus S = \bigsqcup_{i=1}^m W_i$ . On a  $|W_i| \leq |W|/2$ .

**Fait 48**  $m \geq 2$ .

DÉMONSTRATION. Par l'absurde.  $m \leq 1$  impliquerait  $|W \setminus S| \leq |W|/2$ . Mais aussi  $|W \setminus S| \leq |W| - |S| = 3k + 1 - (k - 1) = 2k + 2 > |W|/2$ . ■

Sans perte de généralité, supposons que  $|W_1| \geq |W_2| \geq \dots \geq |W_m|$ . Soit  $i$  minimum tel que  $\sum_{j=1}^i |W_j| \geq \frac{|W \setminus S|}{3}$  (existe car l'union (disjointe) des  $W_i$  est  $W \setminus S$ ).

On pose  $X = \bigsqcup_{j=1}^i W_j$  et  $Y = \bigsqcup_{j=i+1}^m W_j$ .

**Fait 49**  $|X| > 0$ .

**Fait 50**  $|Y| > 0$ .

**Fait 51**  $|X| \leq 2/3|W|$ .

**Fait 52**  $|Y| \leq 2/3|W|$ .

■

## A.4 Algorithme calculant une décomposition


entrée :  $k$  un entier,  $G = (V, E)$  un graphe,  $W$  un sous-ensemble de sommets avec  $|W| \leq 3k + 1$   
 sortie : une décomposition arborescente de  $G$  de largeur  $\leq 4k + 1$  où le sac à la racine inclut  $W$ ,  
 ou échec s'il n'y a pas de telle décomposition

**fonction** décomposition( $k, G, [W = \emptyset]$ )

```

  si  $|V| \leq 4k + 2$  alors
    | renvoyer une arbre-racine où le sac contient tout  $V$ 
  sinon
     $\bar{W}$  := un sur-ensemble de  $W$  de  $3k + 1$  éléments
     $S$  := un  $W$ -séparateur balancée faible (s'il en a pas échec)
     $C_1, \dots, C_m$  := les composantes connexes de  $G \setminus S$ 
    pour  $i := 1$  à  $m$  faire
      |  $A_i$  := décomposition( $k, G[C_i \cup S], (W \cap C_i) \cup S$ )
    renvoyer

```



**Proposition 53** L'algorithme termine et sa spécification est bien respectée.

DÉMONSTRATION. **Terminaison.** La taille des graphes diminue strictement au cours des appels.

**Fait 54**  $|C_i \cup S| < |V|$ .

DÉMONSTRATION. Il y a une partition  $W = X \sqcup (S \cap W) \sqcup Y$ . Ainsi,  $C_i$  touche  $X$  ou  $Y$  mais pas les deux. Donc il y a forcément un élément de  $W$  qui n'est pas dans  $C_i \cup S$ . Ainsi,  $C_i \cup S$  ne peut pas être  $V$  tout entier. ■

**Correction.**

**Fait 55**  $|(W \cap C_i) \cup S| \leq 3k + 1$ .

DÉMONSTRATION.  $|(W \cap C_i) \cup S| \leq |W \cap C_i| + |S| \leq 2/3|W| + |W| = |W|$ . ■

**Proposition 56** décomposition( $k, G, W$ ) retourne une décomposition arborescente de largeur  $\leq 4k + 1$ .

DÉMONSTRATION. Un sommet qui est à la fois dans  $C_i \cup S$  et dans  $C_j \cup S$  pour  $i \neq j$  est dans  $S$  et donc dans le sac de la racine. Pour les arêtes : tout va bien.

Et pour la largeur :  $|W \cup S| \leq 3k + 1 + k + 1 \leq 4k + 2$ . D'où une largeur d'au plus  $4k + 1$ . ■

**Proposition 57** Si  $tw(G) \leq k$ , alors décomposition( $k, G, W$ ) réussit.

DÉMONSTRATION. Par induction sur le nombre de sommets dans  $G$ . Par la proposition 40, si  $tw(G) \leq k$ , on montre qu'il existe un  $W$ -séparateur balancé faible (et donc pas d'échec !).

■ ■